

УДК 541.64+541.124.7

ФИЗИЧЕСКАЯ ХИМИЯ

Х. Л. БХАТНАГАР, М. М. СИНГ, И. С. ГУР, К. ЛАЛ

**КИНЕТИКА ОКИСЛИТЕЛЬНОЙ ДЕСТРУКЦИИ ПОЛИМЕРОВ
В РАСТВОРЕ**

(Представлено академиком Н. М. Эмануэлем 1 IX 1969)

Изучение окисления низкомолекулярных соединений привело к пониманию механизма окислительной деструкции полимерных соединений. На основе теории цепных вырожденно-разветвленных реакций Семенова (¹) предложен простой метод вычисления энергий активации стадии, лимитирующей процесс распада растворенных полимеров.

Если за время t разрывается r связей полимера, то можно показать, что

$$\frac{dr}{dt} = W_0 - (P - Q)r, \quad (1)$$

где W_0 — скорость иницирования, $P = p_b k_1'$, $Q = p_b k_1'$, p_b и p_i — вероятности разветвления и обрыва цепей, соответственно, k_1' — константа скопления.

Таблица 1

Растворитель	A и E вычислены по ур-нию (10)		A и E вычислены по ур-нию (7)		$\alpha P_e = \frac{A(7)}{A(10)}$
	E, ккал/моль	A, сек ⁻¹	E, ккал/моль	A, сек ⁻¹	
Полиэтилен					
Декалин	12,50	$3,49 \cdot 10^4$	12,31	$2,503 \cdot 10^{-10}$	$7,17 \cdot 10^4$
Тетралин	21,00	7,99	20,63	$3,172 \cdot 10^4$	$3,97 \cdot 10^3$
α-Хлорнафталин	35,25	$3,40 \cdot 10^8$	25,24	$2,217 \cdot 10^7$	$6,52 \cdot 10^1$
Дифениловый эфир	26,85	$7,46 \cdot 10^4$	26,47	$3,218 \cdot 10^7$	$4,31 \cdot 10^2$
GR-S					
α-Хлортолуол	24,22	$5,89 \cdot 10^5$	24,61	$1,63 \cdot 10^9$	$2,80 \cdot 10^8$
α-Хлорнафталин	26,01	$1,72 \cdot 10^6$	25,72	$1,83 \cdot 10^9$	$1,06 \cdot 10^8$
Хлорбензол	33,84	$2,05 \cdot 10^{10}$	33,62	$2,050 \cdot 10^{18}$	$1,00 \cdot 10^8$
m-Ксиол	42,84	$7,81 \cdot 10^{14}$	42,49	$1,743 \cdot 10^{18}$	$2,23 \cdot 10^8$
Декалин	59,55	$3,96 \cdot 10^4$	59,01	$3,174 \cdot 10^{27}$	$0,80 \cdot 10^8$
Бутилкаучук					
Декалин	24,40	$5,006 \cdot 10^4$	24,21	$3,250 \cdot 10^8$	$6,49 \cdot 10^3$
n-Ксиол	18,41	$1,431 \cdot 10^5$	18,57	$1,043 \cdot 10^5$	$7,29 \cdot 10^3$
Тетралин	14,78	1,912	14,99	$1,090 \cdot 10^4$	$5,70 \cdot 10^3$
Хлорбензол	24,95	$8,519 \cdot 10^4$	22,16	$6,144 \cdot 10^8$	$7,21 \cdot 10^3$
Бромбензол	23,48	$4,855 \cdot 10^4$	23,47	$2,687 \cdot 10^8$	$5,53 \cdot 10^3$

Таблица 2

Величина E (ккал/моль), вычисленная различными методами

Растворитель	Обычный метод	Метод Лако и Мага	По ур-нию (7)	Растворитель	Обычный метод	Метод Лако и Мага	По ур-нию (7)
Тетралин	14,8	14,4	15,0	Декалин	24,4	24,6	24,2
n-Ксиол	18,4	17,9	18,6	Хлорбензол	25,0	24,4	25,2
Бромбензол	23,5	23,5	23,5				

Таблица 3

Полимер	Растворитель	A , сек $^{-1}$	ΔH^*	$T\Delta S^*$	ΔF^*
			ккал/моль		
Бутилкаучук в растворе	Декалин	$5,01 \cdot 10^4$	24,4	-15,05	39,45
	<i>n</i> -Ксиол	$1,43 \cdot 10^4$	18,4	-21,55	39,94
	Тетралин	1,91	14,8	-23,14	37,94
	Хлорбензол	$8,52 \cdot 10^4$	25,0	-14,62	39,63
	Бромбензол	$4,86 \cdot 10^4$	23,5	-15,06	38,56
GR-S в растворе (^{7,8})				Среднее	39,10
	Декалин	$3,96 \cdot 10^{24}$	59,55	21,38	38,17
	<i>n</i> -Ксиол	$7,81 \cdot 10^{24}$	42,36	3,606	38,75
	Хлорбензол	$2,05 \cdot 10^{10}$	33,84	-4,78	38,62
	α -Хлорнафталин	$1,72 \cdot 10^6$	26,04	-11,25	37,27
Полиэтилен (⁴⁻⁶) в растворе	<i>o</i> -Хлортолуол	$5,89 \cdot 10^5$	24,22	-13,09	37,31
				Среднее	38,04
	Декалин	$3,49 \cdot 10^{-4}$	12,5	-29,98	42,48
	Тетралин	7,99	21,0	-22,00	43,00
	Дефениловый эфир	$7,46 \cdot 10^4$	26,9	-14,73	41,63
Полиэтилен в твердой фазе (¹³⁻¹⁶)	α -Хлорнафталин	$3,4 \cdot 10^8$	35,3	-8,03	43,34
				Среднее	42,61
		$10^{18,8}$	66,0	10,76	55,24
		$10^{14,8}$	52,6	+3,44	48,16
	Мадорский	$10^{12,8}$	46,0	-0,59	46,59
Каучук (¹²) в рас- творе		$4 \cdot 10^{13}$	48,0	1,14	46,86
				Среднее	49,21
	Циклогексан (⁴)	$6,10 \cdot 10^7$	26,6	-9,31	35,91
	Транс-декалин	$3,29 \cdot 10^6$	24,9	-11,71	36,61
				Среднее	36,26
Каучук (¹⁷) в твер- дой фазе	Образец № 2	$7,44 \cdot 10^{18}$	56	10,53	45,47
	Образец № 3	$5,96 \cdot 10^{18}$	56	10,71	45,28
	Образец № 4	$0,91 \cdot 10^{18}$	54	9,18	44,82
				Среднее	45,19
		$0,92 \cdot 10^{18}$	49	5,43	43,56
Полизобутилен (¹⁸) в твердой фазе				Среднее	43,57
				Среднее	35,25
				Среднее	35,25
				Среднее	35,25
				Среднее	35,25
Полиакрилонит- тил (¹⁹)		$5,97 \cdot 10^{10}$	31	-4,27	35,25
				Среднее	35,25
				Среднее	35,25
				Среднее	35,25
				Среднее	35,25
Полиметилмета- крилат (²⁰)	M. в. 150 000	$4,46 \cdot 10^{10}$	30	-4,16	34,15
	M. в. 5 400 000	$2,99 \cdot 10^{17}$	52	8,21	43,78
				Среднее	36,97
				Среднее средних	40,68

ности реакции. После интегрирования получаем:

$$r = W_0 / \gamma [\exp (\gamma t) - 1], \quad (2)$$

где $\gamma = Q - P$. Степень деструкции $\alpha = r / P_0$, следовательно

$$\alpha = (W_0 / \gamma P_0) [\exp (\gamma t) - 1]. \quad (3)$$

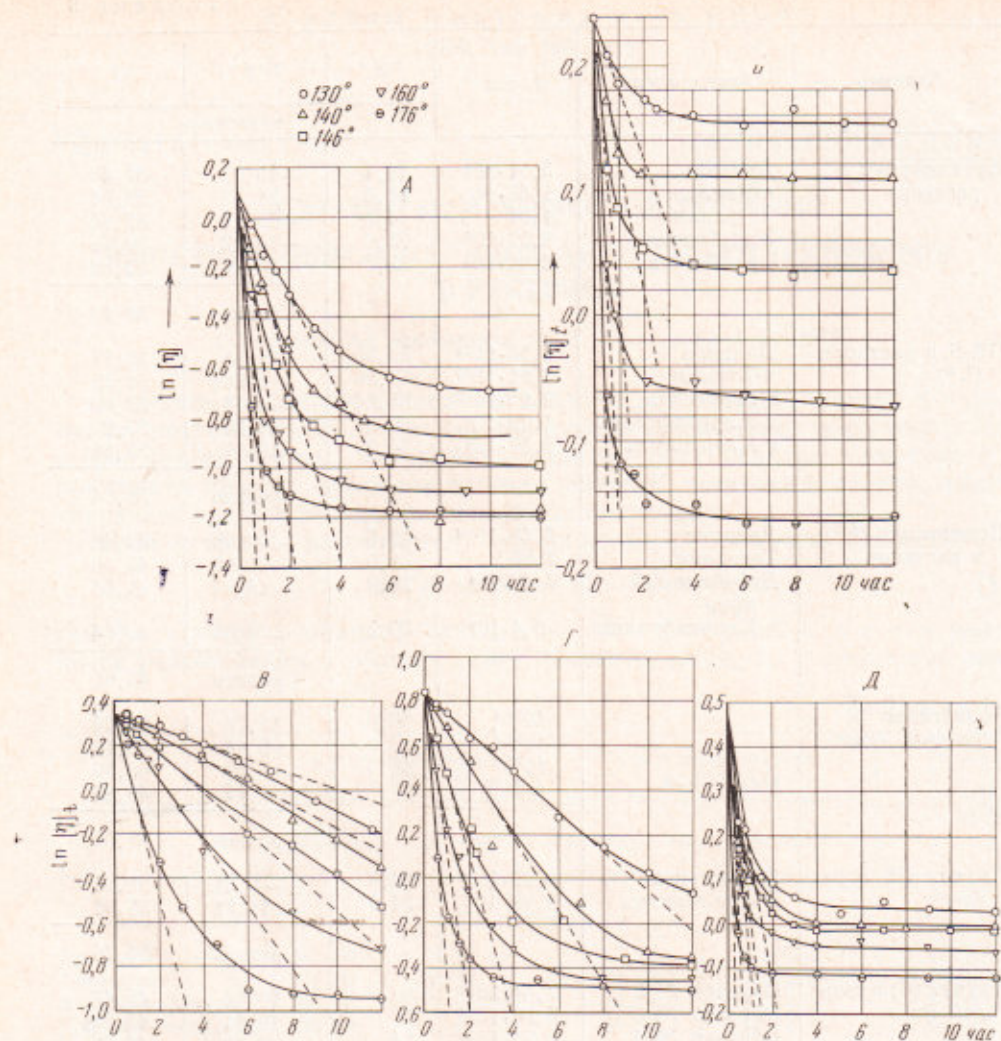


Рис. 1. Зависимость $\ln[\eta]$ от времени для раствора бутилкаучука, подвергнутого деструкции в бромбензоле (A), хлорбензоле (B), *n*-ксилоле (C), декалине (Г), тетрагидрофуране (Д)

Когда $\gamma = 0$, уравнение (3) приобретает вид:

$$a = (W_0 / P_0) t. \quad (4)$$

Уравнение (4) имеет такой же вид, как постулированное ранее Шульцом (2). Отсюда следует, что, по крайней мере, в начальный период a растет линейно во времени и, откладывая a в зависимости от t , можно определить W_0 .

Если используется вискозиметрический метод изучения распада полимера в растворе, уравнение (3) необходимо преобразовать.

Пусть P_0 и P_t — средняя длина цепи вначале и в момент t . Тогда

$$P_t / P_0 = 1 / (1 + r). \quad (5)$$

Допуская, что K и a в уравнении $[\eta] = KM^a$ — одни и те же для исходного и деструктированного полимера, получаем:

$$[\eta]_t = [\eta]_0 (1 + r)^{-a}, \quad (6)$$

$$(d \ln [\eta] / dt)_{\max} = -a W_0. \quad (7)$$

при условии $d^2 (\ln [\eta]_t) / dt^2 = 0$, откуда $W_0 = \gamma$. Так как W_0 является скоростью инициирования, то оно может быть вычислено из графика $\ln [\eta]_t - t$ по максимальному наклону. Этот же метод можно использовать для вычисления энергии активации и предэкспоненты A , используя уравнение

$$W_0 = k_0 [RH][O_2] = e^2 \frac{kT}{h} \times \\ \times [\exp(\Delta S^*/R) \times \\ \times \exp(-\Delta H^*/RT)] [RH][O_2]. \quad (8)$$

Лако и Мага (³) получили значение E , предполагая

$$(d[\eta]_t / dt)_{\max} \propto \exp(-E / RT) \quad (9)$$

без какого-либо теоретического обоснования. Следовательно, уравнение (9) не дает никаких сведений о предэкспоненте реакции инициирования. Обычно значения E и A получаются путем построения графика $a(t)$ и измерения значений начальных углов наклона (⁴⁻⁶). Нетрудно видеть, что (8) дает больше информации при использовании тех же исходных данных. Согласно обычному методу (²)

$$a = k_1 t. \quad (10)$$

Сравнивая уравнения (10) и (4), получаем:

$$k_1 = W_0 / P_0. \quad (11)$$

Наблюдаемая энергия активации соответствует наиболее медленному процессу, а таким процессом, по всей вероятности, является именно стадия инициирования по реакции $RH + O_2$ или в результате распада гидроперекисных групп.

Интересной особенностью кинетики деструкции является тот факт, что среднее значение ΔF^* для деструкции при $400^\circ K$ равно 40,68 ккал/моль (табл. 3) для разных полимеров как в растворе, так и в твердой фазе. Даже в твердом состоянии, когда полимер распадается в вакууме, $\Delta F^* \approx 40$ ккал/моль. Этот факт, по-видимому, связан с тем, что процесс распада $ROOH$ по $O-O$ -связи играет важную роль в деструкции полимеров.

Факультет прикладных наук

Университета Курукшетра

Харьяна, Индия

Химический факультет

Университета Курукшетра

Курукшетра, Индия

Поступило

18 III 1969

ЦИТИРОВАННАЯ ЛИТЕРАТУРА

- ¹ Н. Н. Семенов, Цепные реакции, Л., 1934. ² G. V. Schulz, E. Husemann, H. J. Lohman, Zs. Phys. Chem., 52, 23 (1942). ³ C. Lacau, M. Magat, Disc. Farad. Soc., 388 (1947). ⁴ K. Lal, M. M. Singh, H. L. Bhatnagar, Indian J. Chem., 5, 412 (1967). ⁵ K. Lal, H. L. Bhatnagar, ibid., 6, 148 (1968). ⁶ K. Lal, H. L. Bhatnagar, ibid., 7, 259 (1969). ⁷ I. S. Gur, H. L. Bhatnagar, ibid., in press. ⁸ I. S. Gur, H. L. Bhatnagar, Indian J. Techn., in press. ⁹ M. H. Singh, Ph. D. Thesis, Kurukshetra Univ., Kurukshetra, India, 1968. ¹⁰ M. M. Singh, H. L. Bhatnagar, Indian J. Chem., in press. ¹¹ M. G. Evans, M. Polanyi, Trans. Farad. Soc., 34, 11 (1933). ¹² P. S. Sarfare, H. L. Bhatnagar, A. B. Biswas, J. Appl. Polym. Sci., 1, 2199 (1963). ¹³ H. H. G. Jellinek, J. Polym. Sci., 10, 506 (1953). ¹⁴ H. H. G. Jellinek, ibid., 4, 13 (1949). ¹⁵ S. L. Madorsky, ibid., 9, 133 (1952). ¹⁶ S. L. Madorsky, J. Res. Natl. Bur. Stand., 62, 219 (1959); 53, 361 (1954). ¹⁷ S. Straus, S. L. Madorsky, Ind. Eng. Chem., 48, 1212 (1950). ¹⁸ S. L. Madorsky, S. Straus, J. Res. Natl. Bur. Stand., 53, 361 (1954). ¹⁹ S. L. Madorsky, S. Straus, ibid., 63A, 261 (1959). ²⁰ S. L. Madorsky, J. Polym. Sci., 11, 491 (1953).

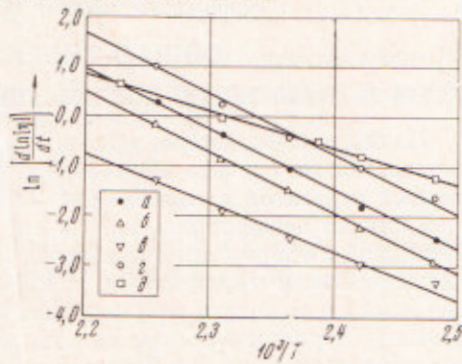


Рис. 2. Изменение $\ln \left(\frac{d}{dt} \ln [\eta]_t \right)$ в функции $1/T$ для систем бутилкаучука с бромбензолом (а), хлорбензолом (б), *p*-ксилолом (с), декалином (д), тетралином (е)